

Obliczenia Naukowe - Laboratorium 2

Krzysztof Zajac (przykład)

Listopad 2025

1 Zadanie 1 - Iloczyn skalarny

1.1 Opis problemu

Obliczenie iloczynu skalarnego na cztery różne sposoby, tak jak w zadaniu 1 z laboratorium 1, tym razem dla innych argumentów i porównanie wyników.

1.2 Rozwiązanie

Zaimplementowano algorytmy.

1.3 Wyniki

Tabela 1: Porównanie wyników iloczynu skalarnego

| Metoda | Float32 | Float64 |
|---------------------------------------|------------|-------------------------------|
| (a) "w przód" | -0.4999443 | -0.004296342739891585 |
| (b) "w tył" | -0.4543457 | -0.004296342998713953 |
| (c) Sort (najw. \rightarrow najmn.) | -0.5 | -0.004296342842280865 |
| (d) Sort (najmn. \rightarrow najw.) | -0.5 | -0.004296342842280865 |
| Poprzednia wartość (bliska) | | $-1.00657107 \times 10^{-11}$ |

1.4 Wnioski

1. `Float32` ma zbyt małą precyzję, aby zauważyc różnicę.
2. Wartości `Float64` drastycznie się zmieniły, co sugeruje, że ten iloczyn skalarny jest wrażliwy na małe zmiany danych.

2 Zadanie 2 - Błąd anulowania przy liczeniu granicy

2.1 Opis problemu

Analiza numeryczna funkcji $f(x) = e^x \ln(1 + e^{-x})$. Obliczenie granicy $\lim_{x \rightarrow \infty} f(x)$ i porównanie jej z wykresem wygenerowanym komputerowo.

2.2 Rozwiązanie

Granicę obliczono analitycznie. Dla $t = e^{-x}$, gdy $x \rightarrow \infty$, to $t \rightarrow 0^+$.

$$\lim_{x \rightarrow \infty} e^x \ln(1 + e^{-x}) = \lim_{t \rightarrow 0^+} \frac{\ln(1 + t)}{t}$$

Jest to definicja pochodnej $\ln(u)$ w $u = 1$, lub (z reguły de l'Hospitala):

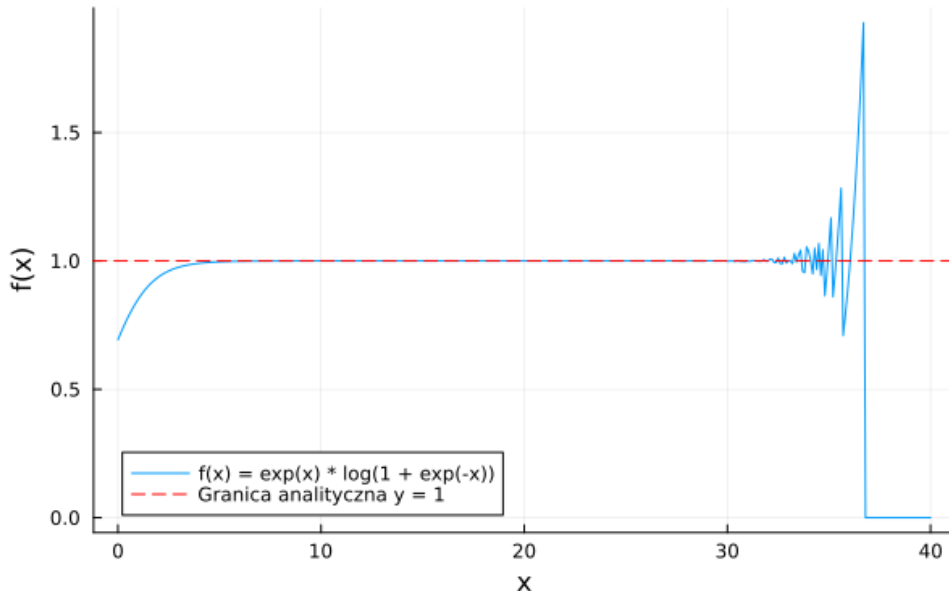
$$\lim_{t \rightarrow 0^+} \frac{\frac{1}{1+t}}{1} = 1$$

Funkcję zwizualizowano w Julii, obserwując jej zachowanie dla rosnących x .

2.3 Wyniki

Analityczna granica funkcji wynosi 1. Wykres numeryczny (w arytmetyce Float64) pokazuje, że funkcja poprawnie zbiega do 1, jednak od $x \approx 32$ zachowuje się niestabilnie, a dla $x \approx 37$ spada do 0.

Zad. 2: Błąd anulowania (Float64)



Rysunek 1: Wykres $f(x)$. Widoczny spadek do 0 dla $x > 36$.

2.4 Wnioski

Nagły spadek do zera jest błędem numerycznym. Dla $x > 36.7$, e^{-x} staje się mniejsze niż $\approx 10^{-16}$ (epsilon maszynowy). W rezultacie $f(1 + e^{-x})$ jest zaokrąglane do 1.0. Następnie $\ln(1.0)$ daje 0, a całe wyrażenie $f(x)$ jest obliczane jako 0. Jest to skutek błędu zaokrąglenia (underflow) i anulowania.

3 Zadanie 3 - Uwarunkowanie układów równań

3.1 Opis problemu

Rozwiązywanie układu $Ax = b$, gdzie $x_{dokl} = (1, \dots, 1)^T$ a $b = Ax$. Porównanie stabilności dwóch metod: eliminacji Gaussa ($A \setminus b$) oraz jawnego użycia macierzy odwrotnej ($\text{inv}(A) * b$). Analiza dla macierzy Hilberta H_n (źle uwarunkowana) i losowych macierzy R_n o kontrolowanym wskaźniku uwarunkowania c .

3.2 Rozwiązywanie

Zaimplementowano testy dla H_n przy $n \in [2, 20]$ oraz dla R_n przy $n \in \{5, 10, 20\}$ i $c \in \{1, 10, 10^3, 10^7, 10^{12}, 10^{16}\}$. Mierzono błąd wzgledny $\|x_{obl} - x_{dokl}\|_2 / \|x_{dokl}\|_2$.

3.3 Wyniki

(a) Macierze Hilberta H_n

| n | cond(A) | rank | Błąd ($A \setminus b$) | Błąd ($\text{inv}(A) * b$) |
|----|-----------|------|--------------------------|------------------------------|
| 2 | 1.928e+01 | 2 | 5.66105e-16 | 1.40433e-15 |
| 4 | 1.551e+04 | 4 | 4.13741e-14 | 0.00000e+00 |
| 6 | 1.495e+07 | 6 | 2.61891e-10 | 2.01638e-10 |
| 8 | 1.526e+10 | 8 | 6.12409e-08 | 3.07748e-07 |
| 10 | 1.602e+13 | 10 | 8.67039e-05 | 2.50149e-04 |
| 12 | 1.752e+16 | 11 | 1.33962e-01 | 2.58994e-01 |
| 14 | 6.201e+17 | 11 | 1.45541e+00 | 8.71499e+00 |
| 16 | 7.046e+17 | 12 | 5.41552e+01 | 2.98488e+01 |
| 18 | 2.248e+18 | 12 | 1.02576e+01 | 2.47621e+01 |
| 20 | 1.148e+18 | 13 | 1.08318e+02 | 1.14344e+02 |

(b) Macierze losowe R_n o zadanym 'c'

| n | c (zadane) | c (realne) | rank | Błąd ($A \setminus b$) | Błąd ($\text{inv}(A) * b$) |
|----|------------|------------|------|--------------------------|------------------------------|
| 5 | 1.0e+00 | 1.000e+00 | 5 | 1.98603e-16 | 4.96507e-17 |
| 5 | 1.0e+01 | 1.000e+01 | 5 | 2.53170e-16 | 5.25453e-16 |
| 5 | 1.0e+03 | 1.000e+03 | 5 | 5.16917e-14 | 2.43335e-14 |
| 5 | 1.0e+07 | 1.000e+07 | 5 | 1.68858e-10 | 1.56188e-10 |
| 5 | 1.0e+12 | 1.000e+12 | 5 | 4.62578e-05 | 1.46009e-05 |
| 5 | 1.0e+16 | 1.612e+16 | 4 | 3.28100e-01 | 4.77624e-01 |
| 10 | 1.0e+00 | 1.000e+00 | 10 | 3.25581e-16 | 2.60370e-16 |
| 10 | 1.0e+01 | 1.000e+01 | 10 | 3.58036e-16 | 6.98647e-16 |
| 10 | 1.0e+03 | 1.000e+03 | 10 | 2.16665e-14 | 3.69209e-14 |
| 10 | 1.0e+07 | 1.000e+07 | 10 | 3.76855e-10 | 2.05499e-10 |
| 10 | 1.0e+12 | 1.000e+12 | 10 | 2.88106e-05 | 4.76602e-05 |
| 10 | 1.0e+16 | 1.547e+16 | 9 | 3.91277e-01 | 1.22035e-01 |
| 20 | 1.0e+00 | 1.000e+00 | 20 | 5.03899e-16 | 5.45028e-16 |
| 20 | 1.0e+01 | 1.000e+01 | 20 | 6.30974e-16 | 5.17178e-16 |
| 20 | 1.0e+03 | 1.000e+03 | 20 | 6.47415e-14 | 4.13263e-14s |
| 20 | 1.0e+07 | 1.000e+07 | 20 | 5.99724e-10 | 3.20098e-10 |
| 20 | 1.0e+12 | 1.000e+12 | 20 | 4.66512e-05 | 1.60382e-05s |
| 20 | 1.0e+16 | 8.942e+15 | 19 | 3.42596e-01 | 6.00913e-01 |

Dla macierzy Hilberta (a) wskaźnik uwarunkowania 'cond(A)' rośnie wykładniczo, co powoduje szybki wzrost błędu. Już dla $n = 12$ wskaźnik osiąga $\approx 1.7 \times 10^{16}$, czyli granicę precyzji maszynowej. Błąd względny obu metod skacze wtedy do $\approx 0.1 - 0.2$. Dla $n \geq 14$ błąd przekracza 1.0, co oznacza całkowitą utratę dokładności. W przypadku macierzy losowych (b) błąd rośnie stabilnie wraz z zadanym wskaźnikiem 'c'. Gdy 'c' osiąga 10^{16} , macierze również tracą rząd, a błąd wzrasta do $\approx 0.1 - 0.6$. W obu eksperymentach metody $A \setminus b$ oraz $\text{inv}(A) * b$ dają wyniki o bardzo zbliżonym rzędzie wielkości błędu.

3.4 Wnioski

Problem rozwiązywania $Ax = b$ jest źle uwarunkowany, gdy 'cond(A)' jest duże. Błąd względny rozwiązania jest w przybliżeniu ograniczony przez $c \cdot \epsilon_{mach}$. Metoda $A \setminus b$ jest numerycznie stabilniejsza. Jawne obliczanie macierzy odwrotnej $\text{inv}(A)$ jest kosztowniejsze i wprowadza dodatkowe błędy zaokrągleń, pogarszając wynik.

4 Zadanie 4 - Wielomian Wilkinsona

4.1 Opis problemu

Analiza uwarunkowania problemu znajdowania zer wielomianu. (a) Obliczenie zer z_k wielomianu $P(x)$ (postać naturalna $p(x) = \prod_{k=1}^{20}(x-k)$) i porównanie z k . (b) Analiza wpływu współczynnika a_{19} (z -210 na $-210 - 2^{-23}$) na zera.

4.2 Rozwiązanie

Użyto funkcji `roots()` z pakietu `Polynomials`. (a) Obliczono $z_k = \text{roots}(P)$ i błędy $|z_k - k|$. (b) Zmieniono współczynnik a_{19} i ponownie obliczono zera.

4.3 Wyniki

(a) Obliczone zera z_k znacznie różnią się od dokładnych $k \in \{1, \dots, 20\}$. Pierwiastki $k \leq 8$ są wyznaczone poprawnie. Dla $k \geq 9$ błędy gwałtownie rosną. Pierwiastki $k \in [10, 18]$ są obliczone jako liczby zespolone o znaczących częściach urojonych (np. $z_{14}, z_{15} \approx 13.99 \pm 2.5i$).

(b) Niewielka zmiana a_{19} ($\delta \approx 1.19 \times 10^{-7}$) spowodowała drastyczne zmiany. Już z_{10} i z_{11} stały się zespolone. Błędy dla pierwiastków $k \geq 12$ są rzędu 2-3 (np. $z_{15} \approx 17.6 \pm 2.8i$).

4.4 Wnioski

(a) Problem znajdowania zer wielomianu na podstawie współczynników w bazie naturalnej jest źle uwarunkowany. Błędy reprezentacji współczynników w `Float64`

(b) są silnie wzmacniane, prowadząc do całkowicie błędnych wyników dla większych pierwiastków. Forma iloczynowa $p(x)$ jest dobrze uwarunkowana; postać naturalna $P(x)$ - nie.

5 Zadanie 5 - Model logistyczny

5.1 Opis problemu

Badanie wrażliwości modelu logistycznego $p_{n+1} := p_n + rp_n(1-p_n)$ dla $r = 3$ i $p_0 = 0.01$. Porównanie trajektorii (1) w arytmetyce `Float32` z obcięciem po 10 iteracjach oraz (2) w arytmetyce `Float32` vs `Float64`.

5.2 Rozwiązanie

Przeprowadzono symulacje iteracyjne dla 40 kroków zgodnie ze scenariuszami.

5.3 Wyniki

1. **Float32 vs Float32 z obcięciem:** Obie trajektorie są identyczne do $n = 10$. Po obcięciu p_{10} (z $\approx 0.7224\dots$ do 0.722), trajektorie natychmiast się rozbiegają. W $n = 40$ wartość niezakłócona to ≈ 0.654 , a zakłócona ≈ 0.638

2. **Float32 vs Float64:** Trajektorie są zgodne przez ok. 20 iteracji. Następnie błędy zaokrąglenia `Float32` kumulują się i trajektorie rozchodzą się. W $n = 40$ `Float64` daje ≈ 0.64459 , a `Float32` ≈ 0.65415 .

| (1) <code>Float32 vs Float32 z obcięciem</code> $p_{10} = 0.722$ | | |
|--|-------------|---------------------|
| n | p_n (F32) | p_n (F32 Obcięte) |
| 0 | 0.01000000 | 0.01000000 |
| 10 | 0.72293061 | 0.72293061 |
| 11 | 1.32383645 | 1.32414794 |
| 40 | 0.25860548 | 1.09356797 |

| (2) Float32 vs Float64 | | |
|------------------------|------------|------------|
| n | p_n (F32) | p_n (F64) |
| 0 | 0.01000000 | 0.01000000 |
| 10 | 0.72293061 | 0.72291298 |
| 20 | 0.57990360 | 0.59788019 |
| 30 | 0.75292093 | 0.28965945 |
| 40 | 0.25860548 | 0.02494137 |

5.4 Wnioski

Model logistyczny dla $r = 3$ (w obszarze zachowań chaotycznych) jest wysoce wrażliwy na warunki początkowe i błędy zaokrągleń. Minimalna zmiana (obcięcie, różna precyzja) jest wykładniczo wzmacniana w kolejnych iteracjach, prowadząc do zupełnie różnych trajektorii w długim okresie.

6 Zadanie 6 - Równanie rekurencyjne $x_{n+1} = x_n^2 + c$

6.1 Opis problemu

Obserwacja zachowania ciągów generowanych przez $x_{n+1} := x_n^2 + c$ dla 7 różnych par (c, x_0) w arytmetyce Float64 (40 iteracji).

6.2 Rozwiązańe

Zaimplementowano 7 pętli iteracyjnych, zapisując generowane ciągi.

6.3 Wyniki

Zaobserwowano następujące zachowania:

1. $c = -2, x_0 = 1$: Ciąg zbiega do punktu stałego $x = -1$ (w 1 iteracji). ($x_1 = 1^2 - 2 = -1$, $x_2 = (-1)^2 - 2 = -1$).
2. $c = -2, x_0 = 2$: Ciąg pozostaje w punkcie stałym $x = 2$. ($x_1 = 2^2 - 2 = 2$).
3. $c = -2, x_0 = 1.99\dots 9$: Ciąg wykazuje zachowanie chaotyczne. Wartości oscylują w sposób aperiodyczny w przedziale $[-2, 2]$.
4. $c = -1, x_0 = 1$: Ciąg wchodzi w cykl $(0, -1)$ po 1 iteracji. ($x_1 = 0, x_2 = -1, x_3 = 0, \dots$).
5. $c = -1, x_0 = -1$: Ciąg wchodzi w cykl $(-1, 0)$ natychmiast. ($x_1 = 0, x_2 = -1, x_3 = 0, \dots$).
6. $c = -1, x_0 = 0.75$: Ciąg asymptotycznie zbiega do cyklu $(0, -1)$.
7. $c = -1, x_0 = 0.25$: Ciąg asymptotycznie zbiega do cyklu $(0, -1)$.

6.4 Wnioski

Badane równanie rekurencyjne (związane ze zbiorom Mandelbrota) wykazuje dużą dynamikę. W zależności od parametrów c i x_0 , trajektorie mogą zbiegać do punktów stałych, zbiegać do cykli lub wykazywać zachowanie chaotyczne (w przypadku 3).